

ADTを含む問い合わせ処理の最適化方式の設計

7H-8 *矢島謙一 **大保信夫 **北川博之 **山口和紀 **藤原譲 **鈴木功
(*筑波大学工学研究科 **筑波大学電子情報工学系)

1. はじめに

近年、化学グラフ構造に対するデータベース化の要求が高まっているが、従来のデータベースシステムでは、複雑な構造を持つ化学グラフデータの支援は困難である。

この問題に対するアプローチとして、当グループでは、ADT(抽象データ型)を用いて化学グラフ構造データの支援を可能とするシステムCHARMの研究開発を進めている[1]。化学グラフのようなADTを含むデータベースに対する問い合わせ処理を行なう場合、従来とは異なった最適化の基準が必要となる。例えば、従来コストが低いとみなされている選択演算についても、グラフの同型性判定といった莫大な計算コストを要する処理が必要な場合がある。

そこで、本稿では、ADT属性に対する計算コストを考慮した場合の選択演算と接合演算の処理コストを定式化し、問い合わせの最適化に必要なこれらの演算の間の順序関係によるコストの依存性について述べる。

2. コストモデル

本節では、図1の2つのProcessor Tree(PT)について、それぞれ処理コストを定式化し、2つの演算の間の順序関係によるコストの依存性を考察する。

2.1. 処理コストの前提条件

ここでは、各PTに要するコストの定式化に必要な前提条件について述べる。

まず、2つのリレーションは次のスキーマに従うものとする。

R1(A,B) A: ADT属性 B: 接合属性
R2(B,C) B: 接合属性(Clustering Index)
C: 基本データ型属性

つぎに、接合演算はLoop-Join方式で行うものとし、各演算のコストは[2]のコストモデルに従うものとする。また、各演算の結果得られるリレーションは、その都度2次記憶に戻されるものとする。

2.2. 各PTの処理コスト

2.1節で述べた前提条件に基づいて、図1の各PTの処理コストを定式化する。

リレーション間のJoin Selectivity、及びADTの計算コストをそれぞれ、JS、f(n)(n:タプル数)と表わすことにする。但し、

$$JS = \|R1 \bowtie R2\| / (\|R1\| * \|R2\|)$$

この時、(1)のPTのコストはE1式で与えられる。
(※ \|R\|, |R| はそれぞれ R のタプル数及び
ブロック数を表わす、また、D(R,A) = π_A(R))

A Study on Query Optimization of ADT Database
K. Yajima, N. Ohbo, H. Kitagawa, K. Yamaguchi,
Y. Fujiwara, I. Suzuki
University Of Tsukuba

また、(2)のPTのコストはE2式で与えられる。

さらに、ADTコストを $f(n) = n*t(t > 0)$ とすると(1)と(2)のPTのコスト差、(1)-(2)はE3式で与えられる。これからわかるように、(1)と(2)の差は JS と t を変数を持つ関数 F(JS,t) として表わすことができる。そして、

$$\begin{aligned} F(JS, t) < 0 &\rightarrow (1) \text{のPTがコスト小} \\ F(JS, t) > 0 &\rightarrow (2) \text{のPTがコスト小} \end{aligned}$$

となる。

2.3. 2つのPTの処理コストの比較

2.2節の結果に基づいて、次の2つの場合について、それぞれ処理コストの比較を行なう。

(i) $JS \geq 1 / \|R2\|$

この場合、 $\|R1 \bowtie R2\| \geq \|R1\|$ となるため、接合コスト、選択コストとともに(1)のPTが(2)に比べ小さいことは明らかである。

(ii) $JS < 1 / \|R2\|$

この場合、 $\|R1 \bowtie R2\| < \|R1\|$ となるため、JSとtの値に従って関数 F(JS,t) の正負が定まり、PTの優劣が明らかになる。

図2に、関数 F(JS,t) の例を示す。(但し、 $\|R1\| = 1500$, $\|R2\| = 1000$, $|R1| = 300$, $|R2| = 200$, $\|D(R1.A)\| = 150$, $\|D(R2.B)\| = 500$ における $-200 \leq F(JS, t) \leq 0$ の領域を示す)

3. 化合物データベースへの適用

本節では、第2節で述べた処理コストのモデルを、化合物データベースCHARMのリレーションに対して適用する。

3.1. リレーション間の関係

化合物データベースCHARMのリレーションの間には次の関係が存在する。

すなわち、接合演算が可能な2つのリレーションの接合属性は、互いに一方が他方のsupersetとなっている。したがって、図1のPTではR1とR2の間に、

$$D(R1.B) \subseteq D(R2.B) \text{ あるいは } D(R1.B) \supseteq D(R2.B)$$

という関係が成立立つ。そこで、上記の2つの場合について、それぞれ考察を行なうこととする。

(a) $D(R1.B) \subseteq D(R2.B)$

このとき、JSは $\|D(R2.B)\| \leq \|R2\|$ から

$$JS = 1 / \|D(R2.B)\| \geq 1 / \|R2\|$$

が成立立つ。これは、2.3節の(i)に該当するので、コストは(1)のPTの方が小さいことがわかる。

(b) $D(R1.B) \supseteq D(R2.B)$

このとき、JSは(a)と同様に

$$JS = 1 / \|D(R1.B)\| \geq 1 / \|R1\|$$

が成立立つ。この場合、R2に対する条件は存在しないため、この条件だけではPTに対する優劣の判断はできない。

3. 2. 実際の適用例

ここでは、実際に化合物データベース CHARMの一部のリレーションとそれに対する3つのPT(図3参照)を考え、それについてコストの評価を行なう。

リレーションのスキーマは以下の通りである。

R1(C#, GRAPH, ...)
R2(CG#, GRAPH, ...)
R3(C#, CG#)

ここで、下線を持つ属性はリレーションのキーを表わし、タプルはこの値によってクラスタリングされている。さらに、これらのリレーションの間には以下の関係が存在する。

$$\begin{array}{ll} D(R2.CG\#) \supseteq D(R3.CG\#) & ① \quad D(R1.C\#) \supseteq D(R3.C\#) \\ \| R1 \| = \| R3 \| & ③ \quad \| R2 \| > \| R3 \| & ④ \\ \| R2 \bowtie R3 \| = \| R3 \| & ⑤ \end{array}$$

まず、(2)と(3)のPTについて評価する。①、②より

$$D(R1.C\#) \supseteq D((R2 \bowtie R3).C\#) = D(R3.C\#)$$

これは、3. 1節の(a)に該当するので、(2)のコストは(3)以下であることがわかる。

次に、(1)と(2)のPTについて評価する。①は、3. 1節の(b)に該当するため、これだけでは(1)と(2)のコストの優劣は判断できない。そこで、他の条件について検討を行なうと④、⑤から2. 3節の(ii)に該当することがわかる。したがって、コストの優劣はJSとtに依存した関数 F(JS, t)の結果に従うことになる。この場合、⑥から

$$JS = 1 / \| R2 \|$$

となるため、(1)と(2)のコストの差は、F(1 / \| R2 \|, t)に一致する。

4. おわりに

本稿では、ADT属性に対する選択の計算コストを考慮した場合の選択演算と接合演算の処理コストの定式化を行ない、それらの演算の間の順序関係によるコストの依存性について考察した。

その結果、ADT属性に対する選択演算を含む問い合わせに対し、最適化を可能とするための見通しが得られた。

今後は、ADTの計算コストについて詳細な解析を行ない、より現実に即した定式化を行なうとともに、既存の最適化ヒューリスティックスとの融合を図っていく予定である。

参考文献

[1]山田et.al., "関数型モデルを用いた化学グラフデータベース CHARMのユーザインターフェース" 情報処理学会第39回全国大会予稿集 Oct., 1989

[2]J.D.Ullman., "PRINCIPLES OF DATABASE AND KNOWLEDGE-BASE SYSTEMS" VOL2., 1989 Computer Science Press

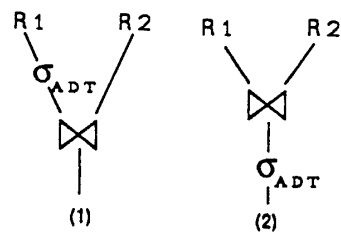


図1 2つのPT

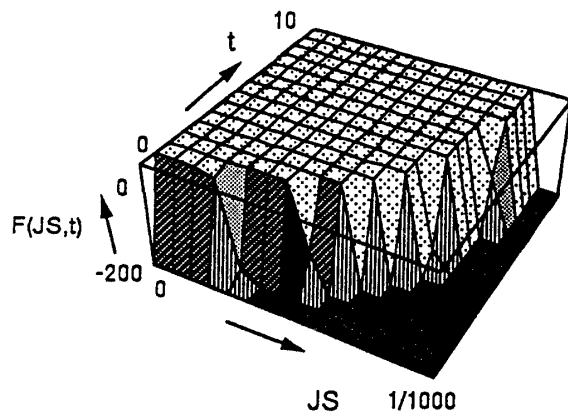


図2 関数F (JS, t) の例

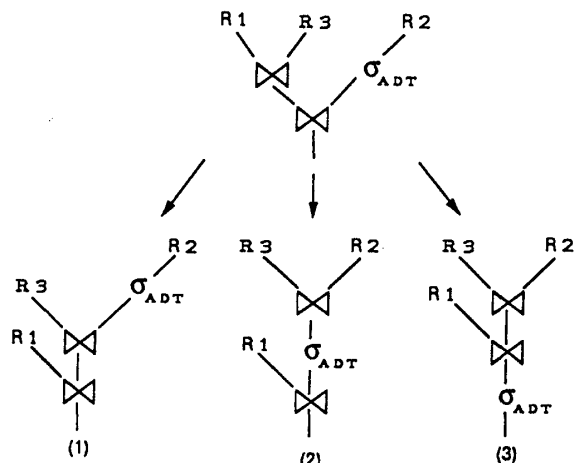


図3 3つのPT

$$\begin{aligned} (E1) \quad & |R1| + f(|R1|) + \frac{2|R1|}{|D(R1.A)|} + \frac{|R1||R2| + |R1||R2|}{|D(R1.A)|} \cdot JS + \frac{|R1||R2|}{|D(R1.A)||D(R2.B)|} \\ (E2) \quad & |R1| + f(|R1||R2|JS) + \left(2 + \frac{1}{|D(R1.A)|}\right)(|R1||R2| + |R1||R2|)JS + \frac{|R1||R2|}{|D(R2.B)|} \\ (E3) \quad & (|R1| - |R1||R2|JS)t - 2(|R1||R2| + |R1||R2|)JS - \frac{|R1||R2|}{|D(R2.B)|} + \frac{2|R1|}{|D(R1.A)|} \\ & + \frac{|R1||R2|}{|D(R1.A)||D(R2.B)|} \end{aligned}$$